

# Análisis del Modelo de Kuramoto: Sincronización en Sistemas de 2 y 3 Osciladores

Esteban Tobar

5 de noviembre de 2025

## Resumen

Este documento presenta un análisis del modelo de Kuramoto para sistemas de osciladores acoplados. Se estudia la dinámica de sincronización para sistemas de 2 y 3 osciladores, analizando puntos fijos, estabilidad y transiciones de fase mediante métodos numéricos y visualización de espacios de fase.

## 1. Introducción

El modelo de Kuramoto describe la sincronización en sistemas de osciladores débilmente acoplados. La ecuación fundamental es:

$$\frac{d\theta_i}{dt} = \omega_i + \frac{K}{N} \sum_{j=1}^N \sin(\theta_j - \theta_i) \quad (1)$$

donde  $\theta_i$  es la fase del oscilador  $i$ -ésimo,  $\omega_i$  su frecuencia natural,  $K$  la fuerza de acoplamiento y  $N$  el número de osciladores.

## 2. Parámetro de Orden

El grado de sincronización se mide mediante el parámetro de orden:

$$re^{i\psi} = \frac{1}{N} \sum_{j=1}^N e^{i\theta_j} \quad (2)$$

donde  $r \in [0, 1]$  representa la coherencia de fase ( $r = 0$ : incoherencia total,  $r = 1$ : sincronización completa).

### 3. Derivación del Parámetro de Orden

El parámetro de orden  $r$  surge naturalmente al reescribir la ecuación de Kuramoto en forma compleja. Partiendo de la ecuación original:

$$\frac{d\theta_i}{dt} = \omega_i + \frac{K}{N} \sum_{j=1}^N \sin(\theta_j - \theta_i) \quad (3)$$

Usamos la identidad  $\sin(\theta_j - \theta_i) = \text{Im}[e^{i(\theta_j - \theta_i)}]$  y reescribimos:

$$\frac{d\theta_i}{dt} = \omega_i + \frac{K}{N} \sum_{j=1}^N \text{Im}[e^{i(\theta_j - \theta_i)}] \quad (4)$$

Factorizando  $e^{-i\theta_i}$ :

$$\frac{d\theta_i}{dt} = \omega_i + \frac{K}{N} \text{Im} \left[ e^{-i\theta_i} \sum_{j=1}^N e^{i\theta_j} \right] \quad (5)$$

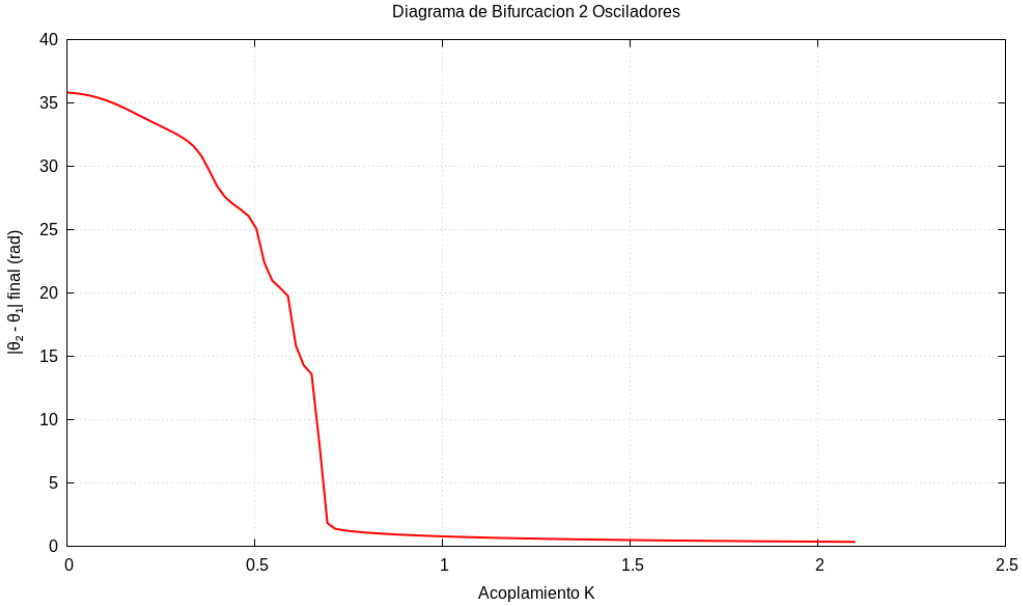
Definiendo el parámetro de orden complejo  $re^{i\psi} = \frac{1}{N} \sum_{j=1}^N e^{i\theta_j}$ , obtenemos:

$$\frac{d\theta_i}{dt} = \omega_i + \frac{K}{N} \text{Im} [e^{-i\theta_i} \cdot Nre^{i\psi}] = \omega_i + Kr \text{Im}[e^{i(\psi - \theta_i)}] \quad (6)$$

Finalmente, usando  $\text{Im}[e^{i(\psi - \theta_i)}] = \sin(\psi - \theta_i)$ , llegamos a:

$$\frac{d\theta_i}{dt} = \omega_i + Kr \sin(\psi - \theta_i) \quad (7)$$

Esta forma muestra que cada oscilador es influenciado por un campo medio de amplitud  $r$  y fase  $\psi$ .



## 4. Caso de 2 Osciladores

### 4.1. Reducción del Sistema

Para  $N = 2$ , definiendo  $\phi = \theta_2 - \theta_1$  y  $\Delta\omega = \omega_2 - \omega_1$ , obtenemos:

$$\frac{d\phi}{dt} = \Delta\omega - K \sin \phi \quad (8)$$

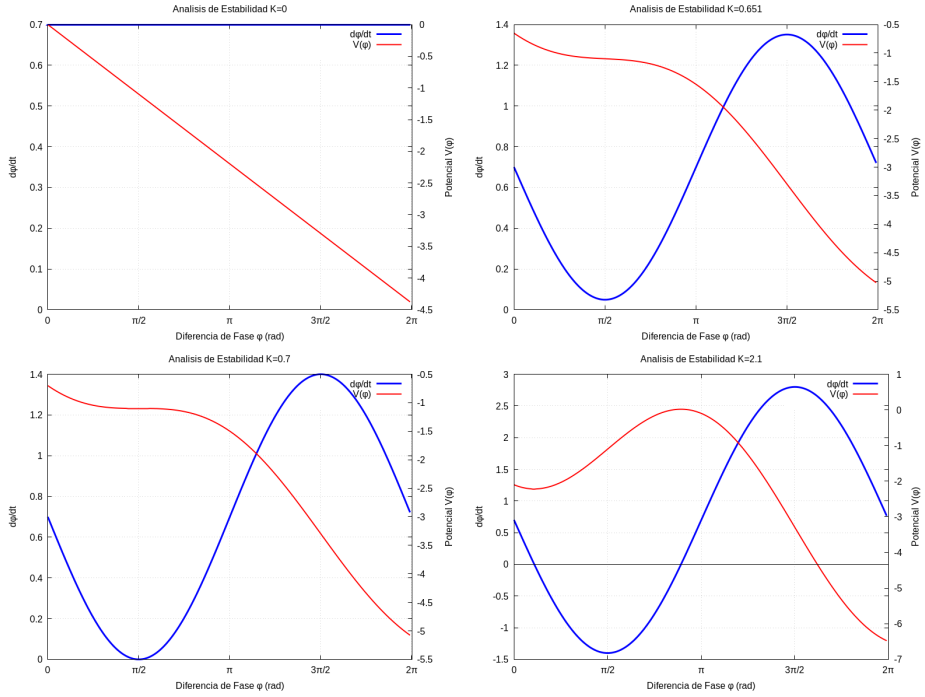
### 4.2. Puntos Fijos y Estabilidad

Los puntos fijos satisfacen  $\frac{d\phi}{dt} = 0$ , es decir:

$$\sin \phi = \frac{\Delta\omega}{K} \quad (9)$$

Existe sincronización cuando  $K \geq |\Delta\omega|$ . El potencial efectivo es:

$$V(\phi) = -\Delta\omega\phi - K \cos \phi \quad (10)$$



## 5. Caso de 3 Osciladores

### 5.1. Ecuaciones Completas

Las ecuaciones para los 3 osciladores son:

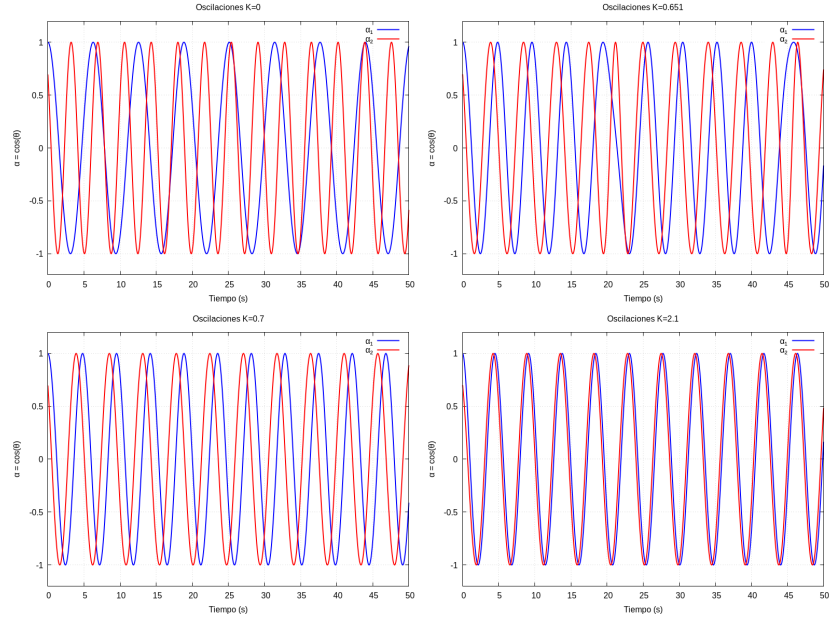
$$\frac{d\theta_1}{dt} = \omega_1 + \frac{K}{3}[\sin(\theta_2 - \theta_1) + \sin(\theta_3 - \theta_1)] \quad (11)$$

$$\frac{d\theta_2}{dt} = \omega_2 + \frac{K}{3}[\sin(\theta_1 - \theta_2) + \sin(\theta_3 - \theta_2)] \quad (12)$$

$$\frac{d\theta_3}{dt} = \omega_3 + \frac{K}{3}[\sin(\theta_1 - \theta_3) + \sin(\theta_2 - \theta_3)] \quad (13)$$

### 5.2. Formulación en Diferencias

Definiendo las tres diferencias de fase:



$$\Delta_{21} = \theta_2 - \theta_1 \quad (14)$$

$$\Delta_{31} = \theta_3 - \theta_1 \quad (15)$$

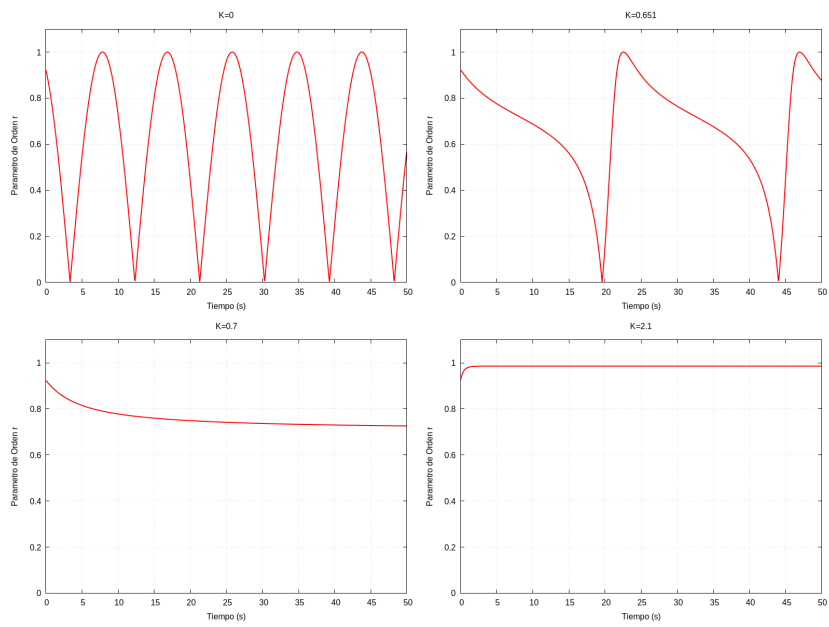
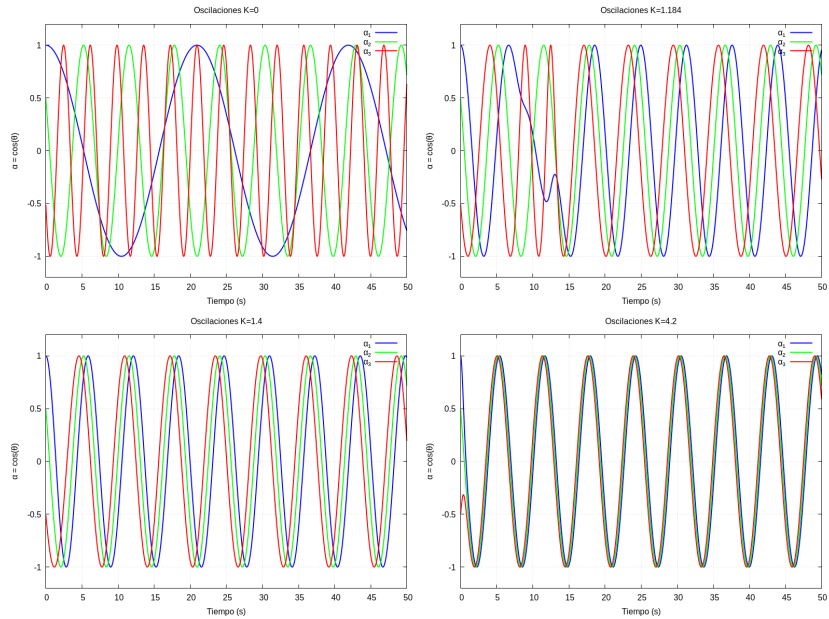
$$\Delta_{32} = \theta_3 - \theta_2 = \Delta_{31} - \Delta_{21} \quad (16)$$

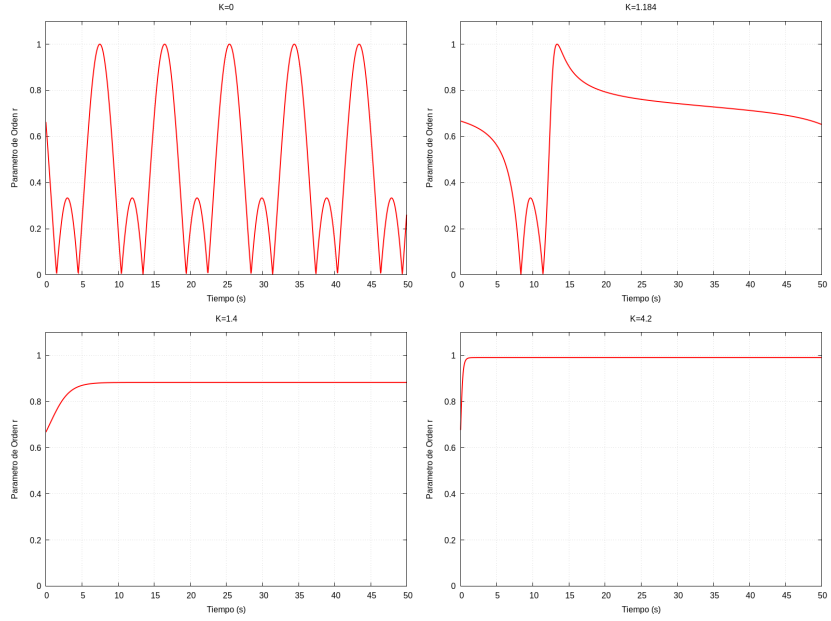
Las ecuaciones se reducen a:

$$\frac{d\Delta_{21}}{dt} = \omega_2 - \omega_1 - \frac{K}{3} [\sin \Delta_{21} + \sin(\Delta_{31} - \Delta_{21}) + \sin \Delta_{31}] \quad (17)$$

$$\frac{d\Delta_{31}}{dt} = \omega_3 - \omega_1 - \frac{K}{3} [\sin \Delta_{31} + \sin(\Delta_{21} - \Delta_{31}) + \sin \Delta_{21}] \quad (18)$$

Nótese que  $\Delta_{32}$  no es independiente, cumpliéndose  $\Delta_{32} = \Delta_{31} - \Delta_{21}$ .





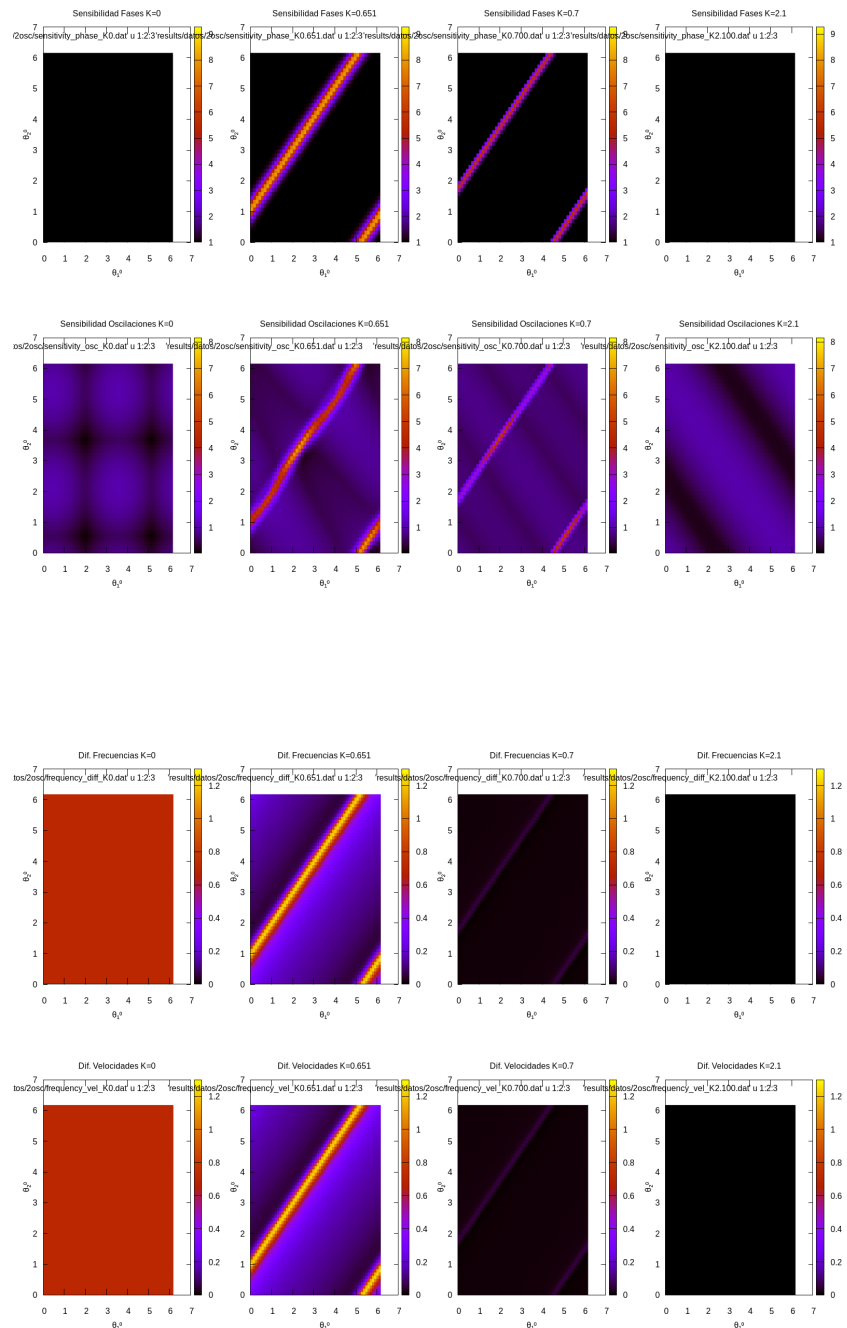
## 6. Resultados Numéricos

- 6.1. Series Temporales
- 6.2. Parámetro de Orden
- 6.3. Mapas de Sensibilidad
- 6.4. Análisis de Bifurcación

## 7. Discusión

Para  $N = 2$ , la transición a sincronización es abrupta y determinística, ocurriendo en  $K_{\text{umbral}} = |\Delta\omega|$ . Para  $N = 3$ , el comportamiento es más complejo:

- No existe  $K_{\text{umbral}}$  único
- Múltiples estados estacionarios posibles
- Dependencia fuerte de condiciones iniciales



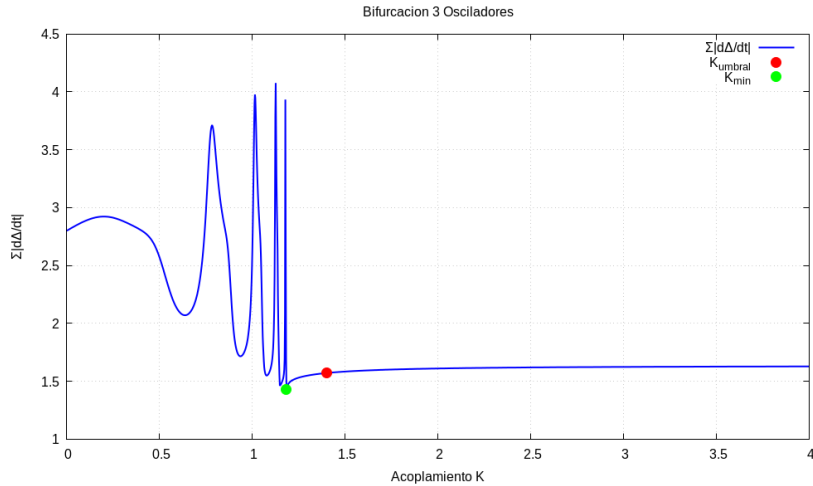


Figura 1: Enter Caption

- Estados de sincronización parcial comunes

Los mapas de sensibilidad muestran regiones donde pequeñas variaciones en condiciones iniciales producen grandes cambios en el estado final.

## 8. Conclusiones

El modelo de Kuramoto exhibe comportamientos cualitativamente diferentes según el número de osciladores:

- Para  $N = 2$ : Comportamiento periódico predecible, transición abrupta
- Para  $N = 3$ : Comportamiento complejo, múltiples atractores, sincronización parcial
- La sincronización completa requiere  $K$  grandes pero no está garantizada
- El análisis de espacios de fase revela la estructura de atractores

Estos resultados ilustran la riqueza dinámica de sistemas de osciladores acoplados y la importancia del análisis numérico para comprender su comportamiento.